

بررسی مقیاس پارامترهای ژئومرفومتری بر پیش‌بینی پراکنش مکانی عمق برف

مهناز بهرامی^۱

علی فتح زاده^{۲*}

روح الله تقی‌زاده مهرجردی^۳

محمدعلی زارع چاهوکی^۴

چکیده

ارتقاء اطلاعات کمی به بهبود پیش‌بینی پارامترهای برف کمک می‌کند. تاکنون تعاملات بین اندازه‌ی پیکسل به صورت محدود بررسی شده است. هدف از این تحقیق، بررسی اثر قدرت تفکیک مکانی بر روی پیش‌بینی عمق برف از طریق آزمون تجربی روابط بین مدل‌های رقومی ارتفاع و پارامترهای مؤثر در مدل‌سازی عمق معادل برف با قدرت تفکیک مختلف و با استفاده از مدل رگرسیون چندمتغیره می‌باشد. به همین منظور ابتدا با استفاده از روش هایپرکیوب محل ۱۰۰ نقطه مشخص و طی یک عملیات صحرایی داده‌های عمق برف در نقاط مورد نظر و همچنین در ۱۹۵ نقطه دیگر به صورت سیستماتیک و با نمونه‌بردار مدل فدرال برداشت گردید. سپس یک مدل رقومی ارتفاع ۱۰ متری به عنوان مبنا انتخاب گردید و از مدل رقومی ارتفاع مبنا تعداد ۲۵ پارامتر مرفومتری استخراج و به عنوان ورودی شبکه‌ی عصبی انتخاب و با استفاده از آنالیز حساسیت مهم‌ترین پارامترهای تأثیرگذار در مدل‌سازی عمق برف مشخص شد. در مرحله‌ی بعد با استفاده از مدل رقومی ارتفاع مبنا ۹ مدل رقومی ارتفاعی با اندازه‌ی پیکسل متفاوت استخراج گردید. سپس در ادامه پارامترهای مؤثر در عمق برف با استفاده از ۱۰ مدل رقومی ارتفاع استخراج و بین آن‌ها و عمق برف نمونه‌برداری شده یک رابطه‌ی رگرسیونی ایجاد و عمق برف محاسبه گردید. جهت ارزیابی دقیق مدل‌ها از پارامترهای MSE، RMSE، NMSE و MAE استفاده و در نهایت مدل رقومی ارتفاع ۱۵۰ متر با مقادیر به ترتیب ۰/۳۵۰، ۰/۹۷۵ و ۱۸/۹۷ بهترین مدل رقومی ارتفاع جهت مدل‌سازی عمق برف انتخاب گردید. این مسئله می‌تواند در کاهش هزینه‌ها و افزایش دقیق برآورد عمق برف کمک بسیاری نماید.

کلمات کلیدی: عمق برف، اثر مقیاس، ژئومرفومتری، رگرسیون خطی چندمتغیره، قدرت تفکیک مکانی.

۱- دانشجوی کارشناسی ارشد دانشگاه اردکان.

۲- استادیار دانشگاه اردکان (نویسنده مسئول).

۳- استادیار دانشگاه اردکان.

۴- استادیار دانشگاه یزد.

مقدمه

دست‌یابی به تغییرات مکانی عمق برف از طریق اطلاعات اندازه‌گیری نقطه‌ای عمق برف، در مقیاسی فشرده صورت می‌گیرد (کلین و همکاران^۱، ۱۹۹۸؛ ۱۲۷۸). از طرفی دسترسی فراگیر به اطلاعات مزبور، به دلیل محدودیت‌های ناشی از پشتیبانی و خطرات آن، دشوار و گاه غیرممکن است (الدر و همکاران^۲، ۱۹۹۱؛ ۱۵۴۶). الگو و ساختار تغییرات مکانی عمق برف از الزام‌های پنهان‌بندی برف به شمار می‌آید (الدر و همکاران، ۱۹۹۸؛ ۱۸۰۰). با توجه به اینکه جمع‌آوری داده‌های دقیق در این مورد نیازمند صرف وقت و هزینه‌ی زیادی است، بنابر این یکی از راه حل‌های موجود در این خصوص، داشتن تعداد محدودی اطلاعات نقطه‌ای و استفاده از روش‌های درون‌یابی برای برآورد عمق برف در نقاطی که فاقد آمار مشاهده‌ای هستند، می‌باشد (بالک و الدر، ۲۰۰۰؛ ۱۸). در این‌گونه روش‌ها عمق برف یا به واسطه‌ی رابطه‌ای که با عوامل توپوگرافی دارد و یا با اتکا به ویژگی ساختار تغییرات مکانی، مدل می‌شود. در حالت نخست مدل کردن عمق برف از طریق روابط معادله‌های همبستگی چندگانه با ترکیب خطی عوامل (ارکسلبن و همکاران^۳، ۲۰۰۲؛ ۳۶۳۱؛ مارچاند و کیلینگویت^۴، ۲۰۰۱) و یا با ترکیب غیرخطی آن‌ها صورت می‌گیرد (الدر و همکاران، ۱۹۹۵؛ ۳: اریکسون، ۲۰۰۵؛ ۱۴). در حالت دوم مدل شدن عمق برف از طریق روش‌های زمین‌آماری انجام می‌شود (هوسان و دتویلر^۵، ۱۹۹۱؛ ۲۸۵). یکی دیگر از راه حل‌های تخمین عمق برف در نقاط فاقد آمار مشاهده‌ای به کار بردن روش‌های مبتنی بر ارتباط تغییرات مکانی عمق برف به عوامل توپوگرافی و سایر عوامل مؤثر بر آن می‌باشد (کلین و همکاران، ۱۹۹۸؛ ۱۲۷۹). غیرقابل دسترس بودن ایستگاه‌های برف‌سنجدی و شرایط بسیار دشوار نمونه‌برداری از حوضه‌های برف‌گیر سبب شده تا از مدت‌ها پیش محققان به فکر راهکارهای ساده باشند. مدل‌های رقومی ارتفاعی از منابع اطلاعاتی بسیار مهم برای مدل‌سازی هیدرولوژیکی محسوب می‌شوند که اغلب از طریق نقشه‌های توپوگرافی به دست می‌آیند. واقعیت آن است که دستیابی به یک DEM^۶ مناسب از نظر دقت و هزینه از طریق این منابع برای حوضه‌های آبخیز، به خصوص در کشورهای در حال توسعه به راحتی امکان‌پذیر نمی‌باشد. مدل‌های رقومی ارتفاع مبتنی بر سنجد از دور^۷ طی دهه‌های اخیر کاربرد وسیعی در هیدرولوژی و سایر علوم داشته و با توان تفکیک بالا، این امکان را فراهم آورده است که بتوان پارامترهای مرتبط با حوضه را با دقت و سرعتی مناسب محاسبه نمود. این نوع مدل رقومی ارتفاعی، امروزه از

1- Cline et al.,

2- Elder et al.,

3- Erxleben et al.,

4- Marchand and Killingtveit

5- Hosang and Dettwiler

6- Digital Elevation Model

7- Satellite-Based DEMs

تنوع زیادی برخوردار بوده و با توان تفکیک از چند صد متر تا کمتر از دو متر در اختیار محققان قرار دارد (هنکاک^۱، ۲۰۰۶: ۱۷۳۴). قبل از ظهور DEM‌های SRTM تنها منبع تهیه‌ی مدل‌های رقومی ارتفاعی که کل سطح زمین را پوشش می‌دادند، داده‌های مربوط به GTOPO30^۲ و GLOBE^۳ بودند (هیستینگس و دانبار^۴، ۱۹۹۸: ۲۲۰). این منابع به علت پایین بودن توان تفکیک (با ابعاد سلولی یک کیلومتر) از کارایی چندان مطلوبی جهت استفاده در مدل‌سازی هیدرولوژیکی (خصوصاً در مقیاس‌های کوچک) برخوردار نیستند.

استفاده از منابعی مانند LIDAR و SAR برای تولید DEM که از کیفیت مناسبی برخوردار می‌باشند نیز در حال حاضر هزینه‌ی زیادی را بر پروژه‌ها تحمیل می‌نماید. ظهور DEM‌های SRTM به انتظار کارشناسان و محققان (خصوصاً هیدرولوژیست‌ها) برای داشتن اطلاعات ارتفاعی با دقت، صحت و توان تفکیک مناسب در تمام نقاط کره‌ی زمین پایان داد (لادویج و همکاران^۵، ۲۰۰۶: ۸۴۰). این DEM‌ها برای کشور آمریکا در ابعاد ۳۰ متری و برای سایر کشورها در ابعاد ۹۰ متری تهیه شده است. یکی از مهم‌ترین دلایلی که موجب افزایش کاربرد این نوع DEM‌ها در بسیاری از مطالعات شده، یکنواختی داده‌ها و دسترسی رایگان و سریع آنها می‌باشد (رابوس و همکاران^۶، ۲۰۰۳: ۲۵۱).

یکی از مهم‌ترین روش‌های تهیه مدل رقومی ارتفاع بر اساس به کارگیری توابع درون‌یابی موجود در نرم‌افزارهای GIS بر روی نقشه‌های رقومی خطوط تراز ارتفاعی می‌باشد. از جمله مهم‌ترین خطاهای انتخاب اندازه‌ی پیکسل نامناسب در یک مقیاس خاص جهت تولید DEM می‌باشد. این نوع خطای ایجاد شده در مدل رقومی ارتفاع از موانع عمدی در کاربرد مدل‌های هیدرولوژیکی به حساب می‌آید؛ زیرا انتخاب اندازه‌ی پیکسل نامناسب باعث کاهش یا افزایش چزیبات مدل رقومی ارتفاع می‌شود و غالباً موجب بروز اختلالاتی در مراحل شبیه‌سازی توسط مدل‌ها می‌گردد. عامل ایجاد این خطا محدودیت اندازه‌ی پیکسل و تناسب آن با مقیاس داده‌های ورودی برای درون‌یابی می‌باشد.

تومیسلاو^۷ (۲۰۰۵: ۱۲۹۱)، در پژوهشی به اندازه‌گیری اندازه‌ی پیکسل با استفاده از تئوری Nyquist فرکانس و معادلات پردازش سیگنال پرداخت و با ۴ منبع داده شامل: جی‌پی‌اس، پلات نقشه‌های کشاورزی، خطوط تراز و نقشه‌ی خاک، اندازه‌ی پیکسل مناسب را تعریف نمود و در نهایت برای نقشه‌های خروجی سه استاندارد تعریف شد (درشت - ریز - بینابین) و در نهایت اندازه‌ی پیکسل مناسب برای این کار را برابر یا

1- Hancock

2- US Geological Survey, 1999

3- Hasting and Dunbar

4- Ludwig et al.,

5- Tmislav

6- McBraney

بزرگ‌تر از ۱/۰۰۰۰ مقياس نقشه‌های ورودی در نظر گرفت. مک برانی^۱ (۲۰۰۳: ۲۸)، اندازه پيكسل را تابع داده‌های مورد نياز در GIS و قدرت کامپيوتر دانست. فرض او اين است که ترجيح داده شود از بيشترین اندازه‌ي پيكسل در پروژه‌ها استفاده شود. بر اين اساس رابطه‌اي را برای اندازه‌ي پيكسل و توانايي کامپيوتر ارائه نمود. درصورتی که ما نمي‌توانيم به راحتی از هر اندازه پيكسلی با توجه به قدرت کامپيوتر در ساخت مدل رقومی ارتفاع استفاده نمايم.

ولی بنا به اظهار نظر بسياري از پژوهشگران نمي‌توان پذيرفت که مدل‌های رقومی ارتفاع رستري با ابعاد سلولی کوچک‌تر هميشه نتایج رضایت‌بخش‌تری دارند (کينزل^۲، ۲۰۰۴؛ ۹۹؛ لازر و راندین^۳، ۲۰۰۶؛ ۱۴۲؛ جيانگ و وانگ^۴، ۲۰۱۰؛ ۸۹). اثر تأثير اندازه‌ي پيكسل در تحقیقات راسموس (۲۰۰۷: ۸۳)، برای شاخص‌های رطوبتی مورد استفاده قرار گرفت و نتایج نشان داد انتخاب اندازه‌ي پيكسل مناسب نقش مهمی در برآورد دقیق داده‌های رطوبتی دارد. همچنین ميخايل^۵ (۲۰۰۸: ۲۶۵)، به مطالعه‌ی تأثير شيب در اندازه‌ي سلول ثابت پرداخت و نشان داد که طول آبراهه با شيب زمين داراي رابطه می‌باشد و مدلی را نيز بر اساس تغييرات شيب ارایه نمود؛ که در اين تحقیق تعیین اندازه‌ي پيكسل DEM با مبنای هيدرولوژيکی بر اساس طول آبراهه و مساحت حوضه، مدنظر قرار گرفته است. در مورد تعاملات بين اندازه‌ي پيكسل و انتخاب بهترین اندازه‌ي پيكسل تحقیقاتی نيز انجام شده است که نتایج آنها با این تحقیق قابل مقایسه می‌باشد.

شارما و همكاران^۶ (۲۰۱۱: ۵۷۹)، با هدف انتخاب يك مدل رقومی ارتفاعی برای فرآيندهای مدل‌سازی هيدرولوژيکی و درون‌يابی؛ DEM ۲۰ متر را به عنوان مينا قرار دادند و سپس DEM‌های ۴۵-۳۰-۶۰-۷۵ و ۹۰ متر را از آن تهييه و نتایج حاصله را مورد تجزيه و تحليل قرار دادند. نتایج حاصله نشان داد اندازه‌ي سلول ۹۰ متر برای مدل‌سازی هيدرولوژيکی مناسب‌تر می‌باشد.

عاشورلو و همكاران (۱۳۸۷: ۴۷)، به تعیین اندازه‌ي پيكسل جهت محاسبه‌ی خصوصيات فيزيوگرافی حوضه‌ی آبريز برای تهييه نقشه‌های توپوگرافی ۱:۲۵۰۰۰ ايران پرداختند. بدین منظور در نقشه‌های ۱:۲۵۰۰۰ سازمان نقشه‌برداری کشور از پنج منطقه کشور در محيط GIS در هشت اندازه‌ي پيكسل مختلف (۵، ۱۰، ۱۵، ۲۰، ۳۰، ۴۰، ۵۰، ۱۰۰) اقدام به تهييه DEM گردید. سپس به منظور تعیین نقش پيكسل سايز، آبراهه‌ها و مساحت استخراج شده با استفاده از مدل D8 با آبراهه‌های نقشه‌های ۱:۲۵۰۰۰ در اندازه‌ي

1- Kienzle

2- Lassuewr and Randin

3- Tiang and Wang

4- Rasmus

5- Michele

6- Sharma et al.,

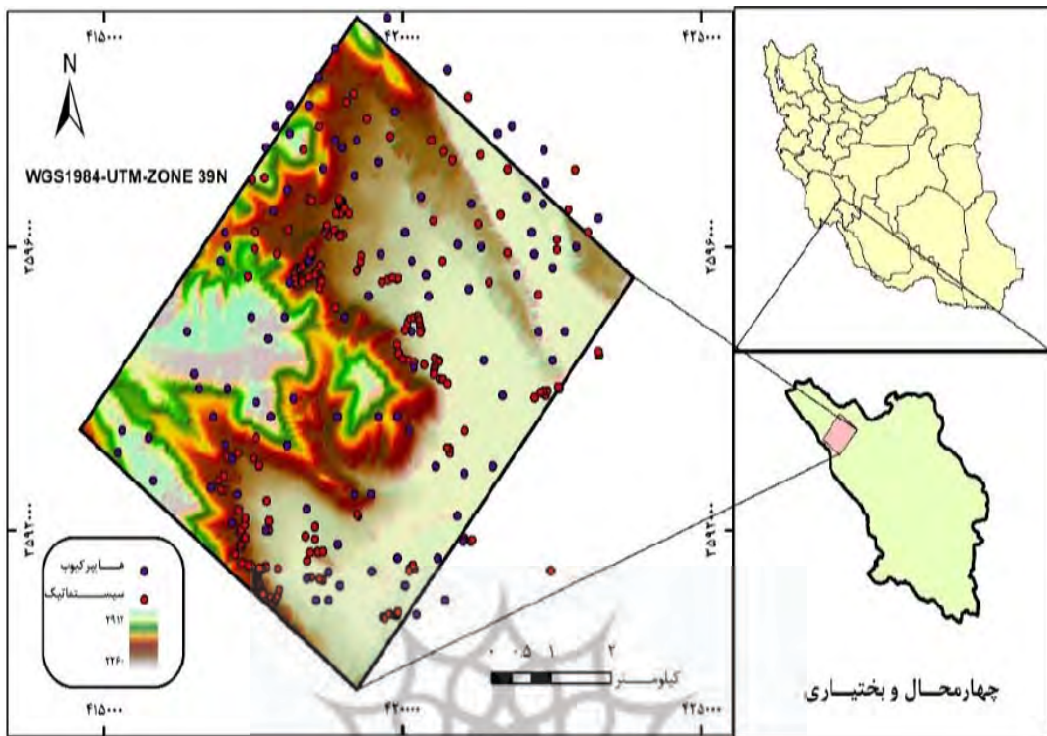
پیکسل‌های مختلف از لحاظ طول آبراهه، جابجایی آبراهه‌ها و بعد فرآکتال آبراهه‌ها مورد مقایسه قرار گرفت. نتایج نشان داد که اندازه‌ی پیکسل ۳۰ متر دارای الگوی هندسی متفاوتی با رودخانه‌ی اصلی می‌باشد؛ و در نهایت اندازه‌ی پیکسل ۵ و ۱۰ متر مناسب بوده و در سایر اندازه‌ی پیکسل‌ها خطای بالای مشاهده شد.

همچنین ظریف‌کار (۱۳۹۴)، در پژوهش خود به تأثیر پیکسل سایز مدل رقومی ارتفاعی در محاسبه‌ی پارامترهای هیدرولوژیکی حوضه‌ی آبخیز در منطقه‌ی حوضه‌ی آبخیز سد نهرین پرداخت. نتایج حاصله نشان داد مدل رقومی ارتفاعی با اندازه‌ی سلوی ۳۰ متر می‌تواند به عنوان مدل رقومی مناسب در مطالعات مربوط به حوضه‌ی آبخیز مورد استفاده قرار گیرد.

با توجه به اینکه تاکنون تعاملات بین اندازه‌ی پیکسل در مطالعات برف به صورت محدود بررسی شده است، هدف از این تحقیق، بررسی نقش مقیاس مکانی بر روی مدل‌سازی عمق برف از طریق آزمودن تجربی تعاملات بین مدل‌های رقومی ارتفاع با قدرت تفکیک مختلف و پارامترهای مرفومتری مؤثر در مدل‌سازی عمق برف می‌باشد. همچنین سعی شد در انجام این مهم از بیشترین و مؤثرترین پارامترها در مدل‌سازی عمق برف استفاده گردد و در نهایت یک مدل رقومی ارتفاعی مناسب برای منطقه تعیین شود.

معرفی منطقه‌ی مورد مطالعه

کوهنگ منطقه‌ای با موقعیت "۲۹° ۵۶' ۵۶" درجه تا "۴۹° ۵۰' ۲۶" طول شرقی و "۳۷° ۵۴' ۵۹" درجه تا "۴۹° ۳۲' عرض شمالی و مساحتی بالغ بر ۳۷۰۰ کیلومترمربع در استان چهارمحال و بختیاری واقع در غرب کشور ایران است که از نظر اقلیم‌شناسی، هیدرولوژی و توپوگرافی یک منطقه منحصر به فرد محسوب می‌شود. این محدوده با توجه به بارش‌های صورت گرفته ۱۰ درصد از کل آب ایران را تأمین می‌کند و همچنین سرچشمه سه رودخانه‌ی بزرگ و حیاتی ایران یعنی زاینده‌رود، کارون و دز در این شهرستان و از قلل سر به فلك کشیده‌ی زردکوه بختیاری سرچشمه می‌گیرند. در شکل (۱)، موقعیت این منطقه در ایران و استان قابل مشاهده است، همچنین در شکل (۲)، نحوه و مراحل انجام کار آمده است.



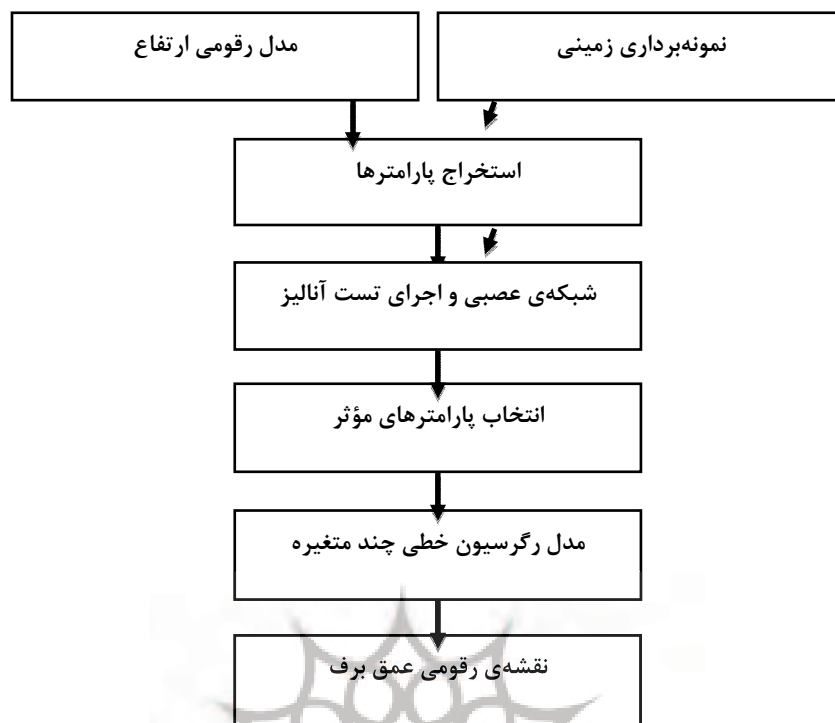
شکل (۱) موقعیت مکانی منطقه‌ی مورد مطالعه و موقعیت نقاط نمونه‌برداری شده با استفاده از تکنیک هایپرکیوب و تصادفی

مواد و روش‌ها

در این تحقیق بر اساس تکنیک هایپرکیوب^۱ (Minasny و McBratney^۲: ۲۰۰۶: ۳۳۶) محل ۱۰۰ نقطه در منطقه چلگرد استان چهارمحال و بختیاری به وسعت ۵۰۰۰ هکتار انتخاب شد. این روش، یک طرح تصادفی طبقه‌بندی شده‌ای است که به وسیله آن می‌توان نمونه‌برداری مؤثری به کمک توزیع چند متغیر ایجاد نمود. تکنیک هایپرکیوب یا مربع لاتین شامل نمونه‌برداری n مقدار از توزیع تشریح شده هر متغیر می‌باشد. این روش داده‌های متغیرهای محیطی را به همان تعداد نمونه‌های خواسته به صورت خوش تقسیم می‌کند و یک نمونه‌ی تصادفی از داده‌های ورودی متغیرهای محیطی هر خوش را انتخاب می‌کند و سعی می‌کند تا پوشش کاملی از هر متغیر را ایجاد کند.

1- Hypercube

2- Minasny and McBratney



شکل (۲) روند اجرای مطالعه‌ی حاضر جهت تهییه نقشه‌ی رقومی عمق برف

روش مطالعه و نمونه‌برداری

پس از مشخص شدن محل نقاط با استفاده از تکنیک مذکور، نقاط مورد نظر را در محیط نرم‌افزار گوگل ارث جایابی کرده و سپس مختصات نقاط مورد نظر را با تغییر فرمت به وسیله‌ی نرم‌افزار گلوبال‌مپر از طریق نرم‌افزار مپ سورس به GPS مدل GARMIAN منتقال داده شد. سپس طی یک عملیات میدانی سه روزه در اسفند ماه ۱۳۹۲، عمق برف با استفاده از نمونه‌بردار مدل فدرال در نقاط مشخص شده برداشت گردید، علاوه بر نقاط مذکور تعداد ۱۹۵ نقطه دیگر نیز به صورت تصادفی در بین نقاط مذکور برداشت گردید. جهت استخراج پارامترهای زمینی مؤثر در عمق برف از مدل رقومی ارتفاع سازمان نقشه‌برداری با بزرگنمایی ۱۰ متر استفاده گردید، سپس جهت تولید یک مدل رقومی ارتفاع مناسب و خالی از هرگونه اشکال (سلول‌های بدون چاله)، بر روی این مدل رقومی ارتفاع یک فیلتر (Simple filter) گذاشته شد و در نهایت بعد از آماده شدن مدل رقومی ارتفاع، از آن جهت استخراج پارامترهای ژئومروفومتری مؤثر در عمق معادل برف در محیط نرم‌افزار سامانه جغرافیایی ساگا (SAGA) استفاده شد (جدول ۱).

جدول (۱) پارامترهای مشتق شده از مدل رقومی ارتفاع

ارتفاع نرمال شده	شیب حوضه‌ی آبخیز	باندهای (۲,۳,۴,۵,۶,۷)
ارتفاع استاندارد شده	مساحت اصلاح شده حوضه آبخیز	شیب
موقعیت میانی شیب	طول شیب	جهات جغرافیایی
شاخص همواری قله	شاخص قدرت آبراهه	شاخص همگرایی
شاخص همواری دره	نیمرخ عرضی انحناء	سطح ویژه‌ی حوضه
شاخص تفاوت نرمال شده برف	نیمرخ طولی انحناء	شاخص رطوبتی توپوگرافی
عمق چاله‌ها	انحناء عمومی	فاکتور طول شیب
ارتفاع حوضه	اثر باد	سطح اساس شبکه زهکشی
مدل رقومی ارتفاع	ارتفاع شیب	تراکم جریان

مدل‌سازی به روش شبکه عصبی مصنوعی

شبکه‌ی عصبی مصنوعی (ANN^۱) به عنوان یک ابزار ریاضی مناسب برای برآورده ضخامت برف با استفاده از اطلاعات توپوگرافی و اقلیمی مرتبط با ضخامت برف انتخاب گردید. بسط و توسعه‌ی یک مدل شبکه‌ی عصبی مستلزم طراحی اجزاء تشکیل دهنده‌ی آن است. جهت دستیابی به اهداف مورد نظر از روش سعی و خطا استفاده شد تا بهترین شبکه با کمترین میزان خطا ایجاد گردد. ساختار شبکه‌ی عصبی مصنوعی که به آن، معماری اطلاق می‌گردد، به شکلی است که نرون‌ها در دسته‌هایی که لایه نام دارند، مرتب می‌شوند. معماری معمول شبکه عصبی مصنوعی متشکل از سه لایه است، لایه‌ی ورودی که داده‌ها را در شبکه توزیع می‌کند، لایه‌ی پنهان که داده‌ها را برازش می‌کند و لایه‌ی خروجی که نتایج را به ازای ورودی‌های مشخص، استخراج می‌کند. یک شبکه می‌تواند چندین لایه‌ی پنهان داشته باشد. ولی تحقیقات تئوریک انجام گرفته در این زمینه نشان داده که یک لایه‌ی پنهان برای این‌گونه مدل‌ها می‌تواند هر تابع پیچیده و غیرخطی را تقریب زند (هورنیک و همکاران، ۱۹۸۹^۲: ۳۶۰؛ ژانگ و همکاران، ۱۹۹۸: ۴۱). انتخاب هر یک از عوامل مؤثر بر توزیع زمینه نشان داده که یک لایه‌ی پنهان برای این‌گونه مدل‌ها می‌تواند بستگی دارد، بلکه به معنی دار بودن اثر مکانی عمق برف و آب معادل برف، نه تنها به قابل دسترس بودن آن بستگی دارد، آنکه به معنی دار بودن اثر آن برای توزیع برف انباست و موقعیت مکانی و زمانی بستگی دارد. عوامل مؤثر توپوگرافی و اقلیمی در مکان‌های مختلف با یکدیگر متفاوت است. در این پژوهش داده‌ها به سه دسته آموزش (۷۰ درصد و به تعداد ۲۰ نقطه)، آزمون (۲۰ درصد و به تعداد ۵۹ نقطه) و تست (۱۰ درصد و به تعداد ۳۰ نقطه) تقسیم‌بندی شدند. با توجه به مطالعات انجام گرفته و قابل دسترس بودن عوامل، در این تحقیق پارامترهای فیزیکی به دلیل اینکه این پارامترها به راحتی از مدل رقومی ارتفاع قابل استخراج هستند جهت ورودی‌های شبکه عصبی مصنوعی استفاده شد. توپولوژی بهترین شبکه با سعی و خطا مشخص گردید و هیچ روند خاصی جهت تعیین

1- Artificial Neural Network

2- Hornik at el.,

بهترین شبکه چه از لحاظ تعداد لایه‌ی پنهان یا تعداد نرون‌های لایه‌ی پنهان وجود ندارد. با سعی و خطا مشخص شد که شبکه‌ی عصبی پرسپترون چند لایه با تابع فعالیت سیگموید و یک لایه‌ی پنهان ۲۵-۶-۱ برای عمق برف دارای ساختار بهینه است، همچنین تعداد تکرار و ضربیب گشتاور برای بهترین شبکه به ترتیب ۱۰۰۰ و ۰/۷ به دست آمد.

تعیین مؤثرترین عوامل در عمق برف

با استفاده از آنالیز حساسیتی که در محیط نرمافزار نروسلوشن انجام شد از بین کلیه‌ی پارامترهای ورودی شبکه عصبی مصنوعی مؤثرترین پارامترها در عمق برف انتخاب گردید. در جدول (۲) مؤثرترین عوامل در عمق برف نشان داده شده است.

جدول (۲) مؤثرترین پارامترهای کمکی حاصل از مدل رقومی ارتفاع

انحناء عمومی	شیب حوضه آبخیز	نیمرخ طولی انحناء
شیب	موقعیت میانی شیب	نیمرخ عرضی انحناء

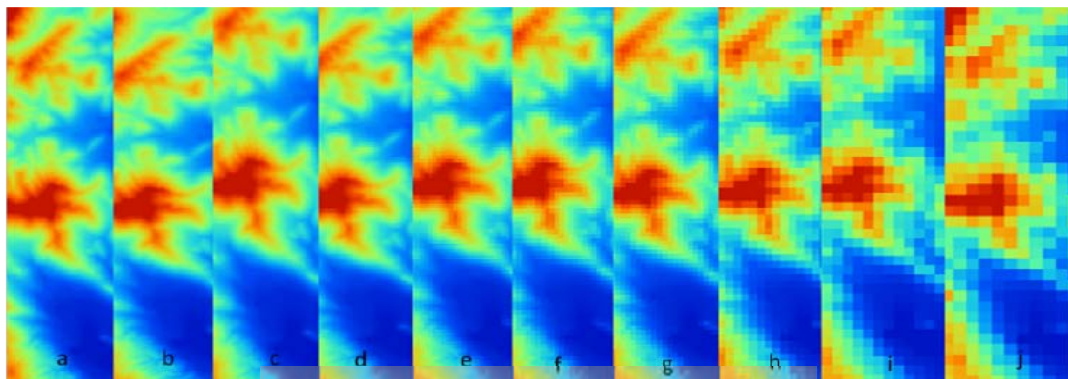
ایجاد مدل رگرسیون خطی چندمتغیره

تجزیه‌ی رگرسیون یک وسیله‌ی آماری است که برای برآورد ارزش یک متغیر کمی با توجه به رابطه‌اش با یک یا چند متغیر کمی دیگر به کار می‌رود. این رابطه طوری است که با استفاده از یک متغیر می‌توان دیگری را پیش‌بینی کرد. پس از استخراج پارامترهای کمکی در نقاط مورد مطالعه، بین ۶ پارامتر مؤثر و عمق برف، آنالیز رگرسیون چند متغیره خطی صورت گرفت که برای آزمون این مدل از ۲۹۵ نقطه استفاده شده است. به منظور برآش معادله‌ی رگرسیون چند متغیره، داده‌های عمق برف به عنوان متغیر وابسته و پارامترهای فیزیکی به عنوان متغیر مستقل در نظر گرفته شد.

سپس نقشه‌ی DEM ۱۰ متر به عنوان مبنای قرار داده شد و در نرمافزار ساگا (SAGA) با عمل Resampling DEM‌های ۲۰، ۴۰، ۶۰، ۸۰، ۹۰، ۱۰۰، ۱۵۰، ۲۰۰، ۲۵۰ متر ساخته است (شکل ۳). در ادامه پارامترهای مؤثر در عمق معادل برف از مدل‌های رقومی ارتفاع نام برده شده استخراج و همانند مدل رقومی ارتفاع ۱۰ متر بین عمق برف و ۶ پارامتر مشتق شده از مدل‌های رقومی ارتفاع آنالیز رگرسیون خطی چند متغیره صورت گرفت و عمق برف با استفاده از رابطه‌ی ایجاد شده محاسبه گردید.

در نقاط مورد ارزیابی، دو سری عدد شامل اطلاعات مشاهده‌ای (نمونه‌برداری صحرایی) و مقادیر برآورد شده (رگرسیون چندمتغیره خطی)، به دست آمد. مقایسه‌ی مقادیر واقعی با برآورد شده از طریق محاسبه‌ی

ملاک‌های پراکندگی که شامل جذر میانگین مربعات خطا (RMSE)^۱، میانگین قدر مطلق خطا (MAE)^۲، میانگین مربعات خطا (MSE)^۳ و میانگین مربعات خطا استاندارد (NMSE)^۴ می‌باشد و از روابط زیر محاسبه می‌شوند، انجام شد.



شکل (۳) مدل‌های رقومی ارتفاعی ساخته شده (۱۰=a متری، ۲۰=b متری، ۴۰=c متری، ۶۰=d متری، ۸۰=e متری، ۹۰=f متری، ۲۵۰=g متری، ۱۵۰=h متری، ۲۰۰=i متری، ۱۰۰=j متری)

$$\text{RMSE} = \sqrt{\frac{1}{n} \sum_{i=1}^n (y_i - x_i)^2} \quad \text{رابطه‌ی (۱)}$$

$$\text{MAE} = \sum \left| \frac{x_i - y_i}{N} \right| \quad \text{رابطه‌ی (۲)}$$

$$\text{MSE} = \frac{1}{N} \sum (y_i - x_i)^2 \quad \text{رابطه‌ی (۳)}$$

$$\text{NMSE} = \frac{\text{MSE}}{V} \quad \text{رابطه‌ی (۴)}$$

که در روابط فوق، x_i و y_i به ترتیب مربوط به مقادیر اندازه‌گیری شده و برآورده شده، V واریانس داده‌های برآورده شده و n تعداد داده‌ها می‌باشد.

بحث و نتایج

تحلیل داده‌های برف

در جدول زیر خلاصه‌ث آماری داده‌های عمق برف آورده شده است. میانگین، انحراف و دامنه تغییرات داده‌های عمق برف به ترتیب برابر $39/79$ ، $39/11$ و 129 (سانتی‌متر) می‌باشد؛ و همچنین بیشینه و کمینه پارامتر عمق برف نیز به ترتیب برابر 130 و 1 (سانتی‌متر) می‌باشد.

1- Root Mean Square Error

2- Mean Absolute Error

3- Mean Square Error

4- Normalized Mean Square Error

جدول (۳) خلاصه آماری برف

عامل	میانگین (سانتی‌متر)	انحراف معیار	کمینه (سانتی‌متر)	بیشینه (سانتی‌متر)	دامنه تغییرات (سانتی‌متر)
	۱۲۹	۱۳۰	۱	۲۸/۱۱	۳۹/۷۹
				عمق برف	

جدول (۴) پارامترهای استخراج شده در مدل‌های رقومی مختلف

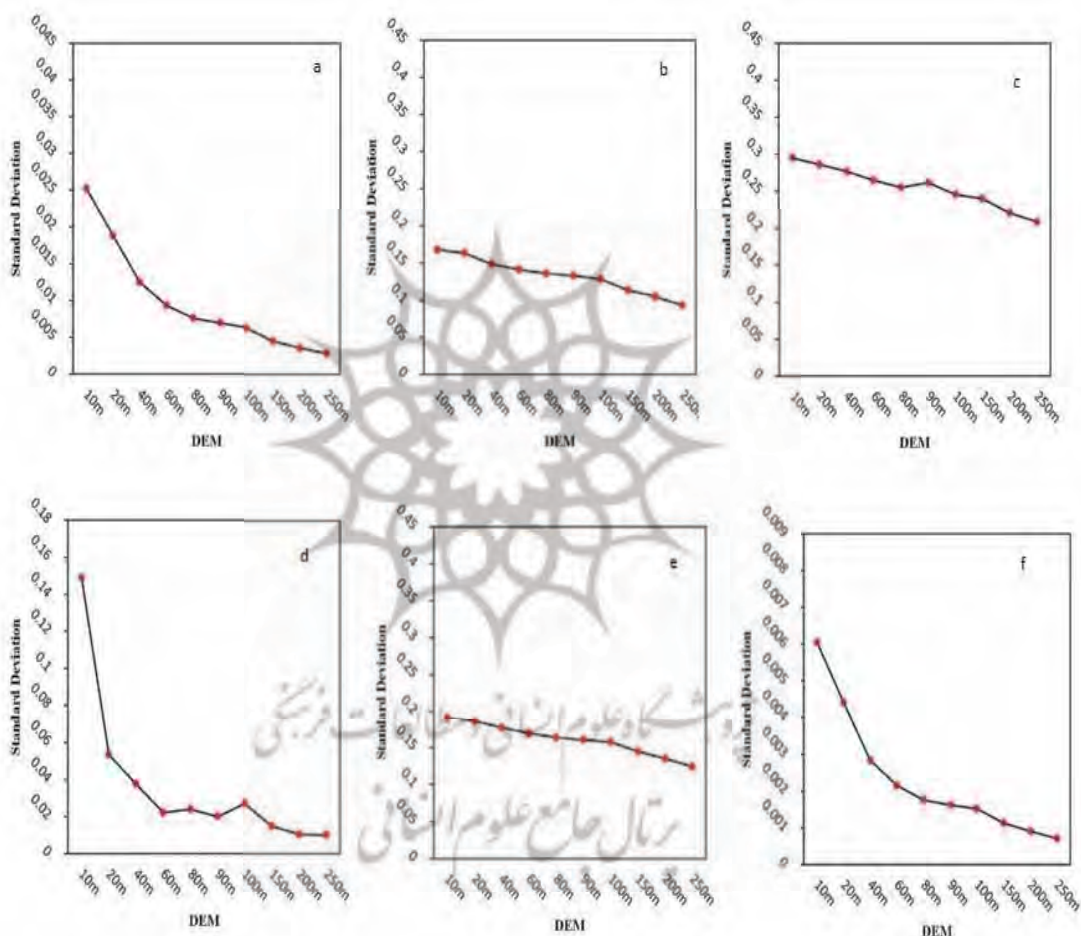
پارامتر	حداکثر	حداقل	میانگین (متر)	انحراف معیار
۱۰ متر	۲۷۷۹	۲۲۵۹/۸	۲۳۷۱/۹	۹۱/۸
۲۰ متر	۲۷۸۰/۱	۲۲۵۹/۸	۲۳۷۱/۹	۹۱/۸
۴۰ متر	۲۷۷۸	۲۲۵۹/۸	۲۳۷۲/۴	۹۲/۲
۶۰ متر	۲۷۷۸/۸	۲۲۵۹/۷	۲۳۷۲/۴	۹۲/۲
۸۰ متر	۲۷۶۶	۲۲۵۹/۸	۲۳۷۲/۴	۹۲/۱۶
۹۰ متر	۲۷۷۵	۲۲۵۹/۹	۲۳۷۲/۵	۹۲/۵۰
۱۰۰ متر	۲۷۶۱/۶	۲۲۵۹/۸	۲۳۷۲/۸	۹۱/۴۸
۱۵۰ متر	۲۷۷۳/۸	۲۲۵۹/۷	۲۳۷۱/۳	۹۱/۷۹
۲۰۰ متر	۲۷۷۸/۶	۲۲۵۹/۸	۲۳۷۳/۱	۹۲/۴۹
۲۵۰ متر	۲۷۳۵/۸	۲۲۵۹/۸	۲۳۷۳/۱۸	۹۲/۹۶

نتایج جدول (۴) از روی نتایج استخراج شده از شکل (۳) به دست آمده است. حداکثر ارتفاع را در مدل رقومی ارتفاع ۲۰ متری مشاهده می‌کنیم و حداقل آن در مدل‌های رقومی ارتفاع ۶۰ متری و ۱۵۰ متری می‌بینیم. همان‌طور که مشاهده می‌شود، میانگین ارتفاع و انحراف معیار در همه‌ی DEM‌ها نزدیک به هم است.

آنالیز پارامترهای کمکی

آنالیز پارامترهای کمکی نشان می‌دهد که چگونه شش خصوصیت مهم سوزمین در پیش‌بینی عمق برف مطابق با مقیاس تغییر می‌کند. اثرات تغییر درجه‌ی وضوح مکانی مدل رقومی ارتفاع را برای شش خصوصیت مهم در پیش‌بینی مکانی عمق برف (به ترتیب انحناء عمومی، شبیب حوضه‌ی آبخیز، موقعیت میانی شبیب، نیمرخ طولی انحناء، شبیب و نیمرخ عرضی انحناء) و انحراف معیار آنها در شکل (۴) نشان داده شده است. مقدار انحراف معیار در پارامتر انحناء عمومی (شکل ۴a) از ۰/۰۲۵ در مدل رقومی ارتفاع ۱۰ متر به ۰/۰۰۲۸ در مدل رقومی ارتفاع ۲۵۰ متر رسیده است، بنابراین، می‌توان پی برد که تغییرات پارامتر انحناء عمومی در پیکسل سایزهای کوچک‌تر نمایان‌تر است. در شکل (۴b) تغییرات آماری پارامتر شبیب حوضه‌ی آبخیز با افزایش اندازه‌ی پیکسل کاهش یافته است. در این منطقه مقدار شبیب حوضه‌ی آبخیز از ۰/۱۶۷ به ۰/۰۹ با بزرگ شدن درجه‌ی وضوح مکانی رسیده است. فاکتور موقعیت میانی شبیب شکل (۴c) نیز یک کاهش ملایم شیب از ۰/۰۲۹ تا ۰/۰۲۰ داشته است. در پارامتر نیمرخ طولی انحناء در شکل (۴d) از ۰/۱۴ در DEM، ۱۰ متر با یک کاهش شدید به ۰/۰۳ در DEM، ۴۰ متر رسیده است. الگوی کاهش انحراف معیار برای پارامتر شبیب

(شکل ۴e) نیز دیده می‌شود و مقدار آن از ۰/۱۹ به ۰/۱۲ است. همچنین در پارامتر نیمرخ عرضی انحناء (4f) نیز این کاهش از ۰/۰۰۶ به ۰/۰۰۲ رسیده است؛ بنابراین، پارامترهای انحناء عمومی، نیمرخ‌های طولی و عرضی انحناء یک کاهش شیب شدید را از DEM، ۱۰ متر تا ۴۰ متر نشان می‌دهد که نشان از مؤثر بودن پیکسل سایزهای کوچک‌تر در نمایش تغییرات انحناء می‌باشد. در نهایت پارامترهای زمینی تست شده ثابت کردند پراکندگی‌های آماری با تغییرات درجه وضوح تغییر می‌کنند و این بر روی قدرت پیش‌بینی این فاکتورهای کنترل کننده‌ی عمق برف تأثیر می‌گذارد.

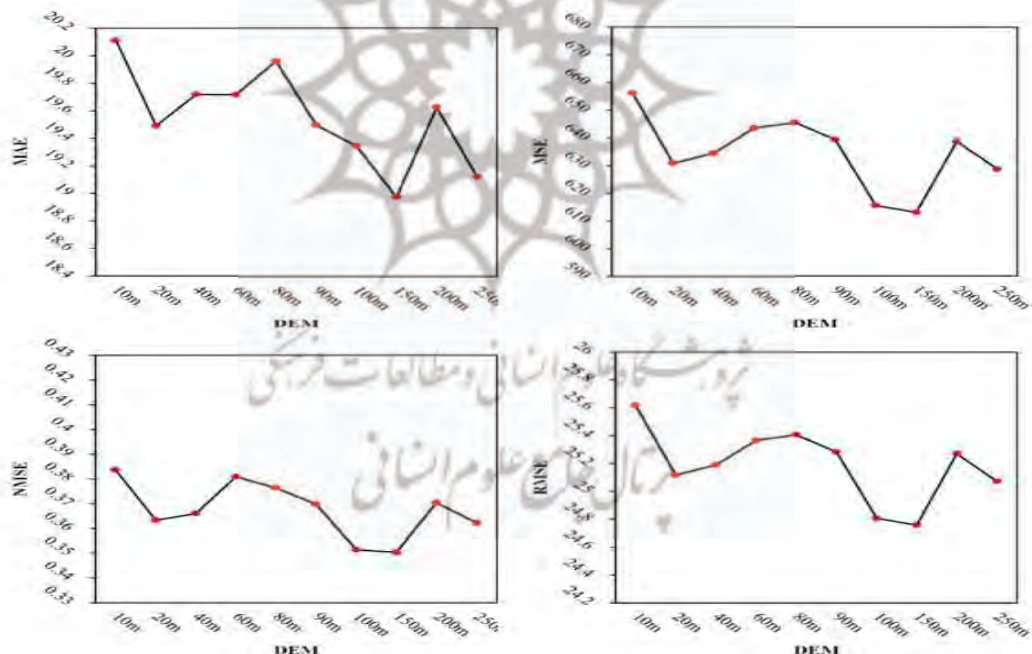


شکل (۴) انحراف معیار شش پارامتر ژئومرفورمتری a) انحناء عمومی، b) شیب حوضه آبخیز، c) موقعیت میانی شیب، d) نیمرخ طولی انحناء، e) نیمرخ عرضی انحناء، f) شیب،

آنالیز و ارزیابی دقیقی مدل‌ها

نتایج حاصل از آنالیز و ارزیابی دقیقی مدل‌ها که شامل جذر میانگین مربعات خطا (RMSE)، میانگین قدر مطلق خطا (MAE)، میانگین مربعات خطا (MSE) و میانگین مربعات خطا استاندارد (NMSE) می‌باشد با استفاده از روابط ریاضی محاسبه شد و نتایج آن در شکل (۵) نشان داده شده است.

همان‌طور که در شکل (۵a) ملاحظه می‌شود با افزایش ابعاد پیکسل از ۱۰ متر به ۲۵۰ متر مقدار تغییرات (MAE) روند ثابتی نداشته است به طوری که در پیکسل سایز ۱۰ متر برخلاف شواهد بیشترین میزان را داشته است که برابر ۲۰/۱۳ می‌باشد و در پیکسل سایز ۱۵۰ متر کمترین بوده و مقدار ۱۸/۹۷ را نشان می‌دهد. همچنین آماره‌ی (MSE) در شکل (۵b) نیز نتایج حاکی از کم بودن مقدار خطأ در پیکسل سایز ۱۵۰ متر است. آماره‌های (NMSE) و (RMSE) نیز در شکل (۵c,d) با داشتن بیشترین مقدار خطأ در مدل رقومی ارتفاع ۱۰ متر با مقادیر ۰/۳۸۳ و ۲۵/۶۱ و کمترین مقادیر به ترتیب ۰/۳۵۰ و ۲۴/۷۵ در مدل رقومی ارتفاع با پیکسل سایز ۱۵۰ متر حاکی از مناسب بودن این مدل رقومی ارتفاع در مدل‌سازی عمق برف می‌باشد. محاسبه‌ی ملاک‌های آماری فوق، علاوه بر اعتبارسنجی و برآورد خطای مدل، امکان مقایسه‌ی روش‌های استفاده شده برای برآورد عمق برف را با یکدیگر فراهم می‌نمایند (ارکسلبن و همکاران، ۲۰۰۲؛ مولوچ و همکاران، ۲۰۰۵). باید به این نکته توجه شود که در همه‌ی آنالیزها مشاهده شده DEM، ۱۵۰ متر نسبت به دیگر DEM‌ها دارای کمترین مقدار خطای ممکن می‌باشد و این مقدار حاکی از آن است برای برآورد توزیع مکانی عمق برف بهترین مدل رقومی ارتفاعی است.

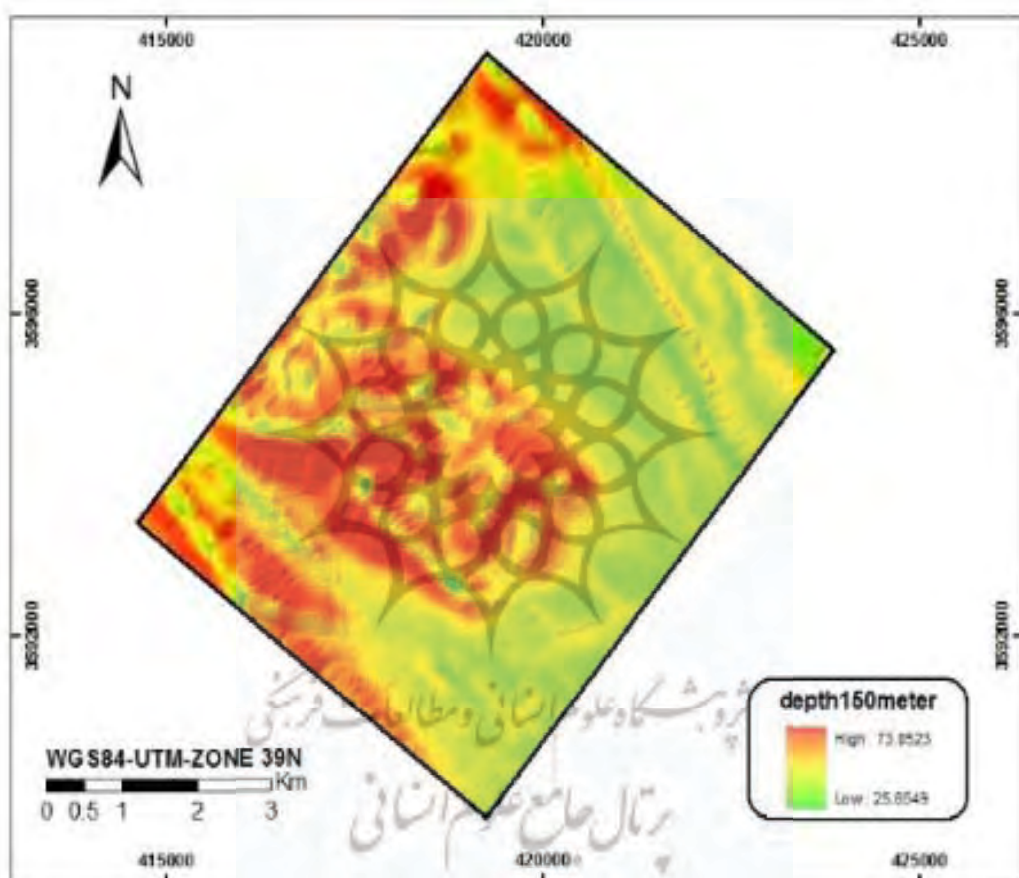


شکل (۵) نتایج حاصل از آنالیز و ارزیابی دقت مدل‌ها

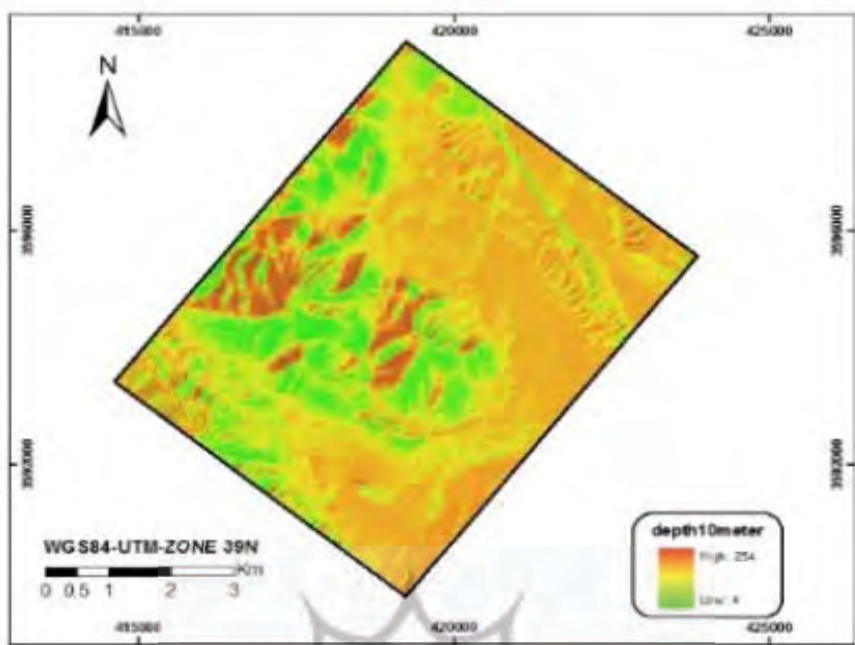
- تهییه نقشه‌ی عمق برف

با توجه به انتخاب مدل رقومی ارتفاع ۱۵۰ متر به عنوان مدل رقومی ارتفاع مناسب جهت مدل‌سازی عمق برف، اقدام به تهییه نقشه‌ی عمق معادل برف با استفاده از این مدل رقومی ارتفاع شده است. جهت تهییه‌ی

نقشه‌ی عمق معادل برف از بهترین شبکه‌ی مدل شده در نرم‌افزار نروسلوشن استفاده شد و عمق برف تخمین زده شده برای نقاط نمونه‌برداری شده را به کل منطقه تعیین داده و نقشه‌ی عمق برف تهیه گردید (شکل ۶). جهت مقایسه‌ی نقشه‌ی عمق معادل برف مناسب (مدل رقومی ارتفاع ۱۵۰ متر) با مدل رقومی ارتفاع مبنا که ۱۰ متر می‌باشد، اقدام به تهیه‌ی نقشه‌ی عمق معادل برف با استفاده از مدل رقومی ارتفاع مبنا نیز شد و نقشه‌ی مورد نظر تهیه شده است (شکل ۷).

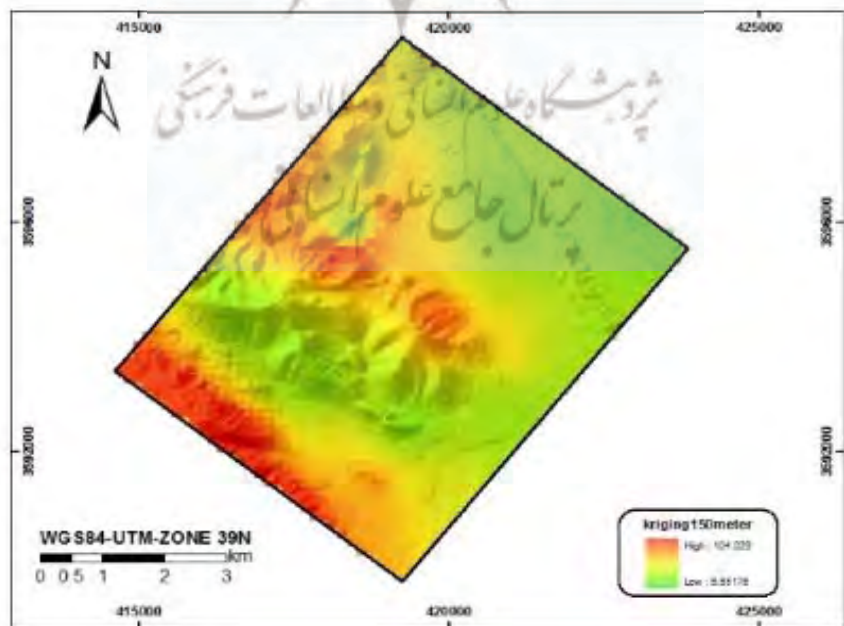


شکل (۶) نقشه‌ی عمق معادل برف با استفاده از مدل رقومی ارتفاع ۱۵۰ متر

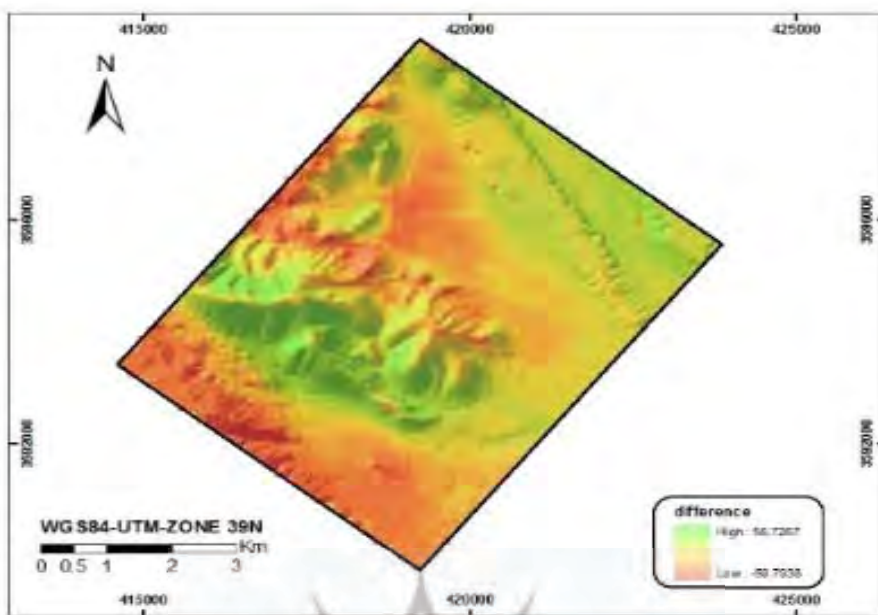


شکل (۷) نقشه‌ی عمق معادل برف با استفاده از مدل رقومی ارتفاع ۱۰ متر

برای مقایسه‌ی نقشه‌ی عمق برف مناسب تهیه شده با یک نقشه‌ی شاخص و ارزیابی دقت کار، از روش کریجینگ استفاده شده است. بنابراین، با استفاده روش کریجینگ نیز اقدام به تهیه‌ی نقشه‌ی عمق معادل برف نمودیم و نتیجه‌ی آن در شکل (۸) آورده شده است.



شکل (۸) نقشه‌ی کریجینگ با استفاده از مدل رقومی ارتفاع ۱۵۰ متر



شکل (۹) نقشه‌ی اختلاف با استفاده از مدل رقومی ارتفاع ۱۵۰ متر

در ادامه اختلاف هر دو نقشه تهیه شده (نقشه‌ی عمق و نقشه‌ی کریجینگ) را با استفاده از نرمافزار GIS محاسبه و اختلاف میانگین محاسبه شده بین این دو روش برای عمق ۱۰ متر ۹/۶۷ سانتی‌متر و برای عمق ۱۵۰ متر برابر ۵/۱۲ سانتی‌متر محاسبه گردید (شکل ۹).

نتیجه‌گیری

الگو و ساختار تغییرات مکانی عمق برف از الزام‌های پهنه‌بندی برف به شمار می‌آید. با توجه به اینکه جمع‌آوری داده‌های دقیق در این مورد نیازمند صرف وقت و هزینه‌ی زیادی است و نیز با توجه به سطح وسیع مناطق کوهستانی و برف‌گیر کشور و نیز تنگناها و مشکلات زمانی و مالی، فراهم کردن داده‌های پایه از سطح این مناطق با روش‌های موجود، دشوار است. همچنین با توجه به اینکه درک بهتر و اطلاعات کمی مقیاس به پیشرفت پیش‌بینی‌های برف کمک می‌کند و تاکنون تعاملات بین اندازه‌ی پیکسل به صورت محدود بررسی شده است. در این پژوهش، اقدام به بررسی نقش مقیاس مکانی بر روی پیش‌بینی عمق برف از طریق آزمودن تجربی تعاملات بین مدل‌های رقومی ارتفاع با قدرت تفکیک مختلف و پارامترهای مؤثر در مدل‌سازی عمق برف با استفاده از مدل رگرسیون چند متغیره شده و نتایج کلی زیر به دست آمده است.

پارامترهای زمینی تست شده ثابت کردند که پراکندگی‌های آماری با تغییرات درجه وضوح تغییر می‌کنند و این بر روی قدرت پیش‌بینی این فاکتورهای کنترل کننده‌ی عمق برف تأثیر می‌گذارد.

مدل رقومی ارتفاع (DEM) که حاصل جمع‌آوری و تبدیل داده‌های ارتفاعی به روش‌های دورسنجی، نقشه‌برداری مستقیم یا رقومی‌سازی نقشه‌های توپوگرافی کاغذی است، در سال‌های اخیر به ابزاری مؤثر در نمایش و تحلیل ناهمواری تبدیل شده است. گرچه به نظر می‌رسد درستی و دقت تجزیه و تحلیل‌های مبتنی بر DEM‌ها تا اندازه‌ی زیادی به قدرت تفکیک DEM‌های اولیه بستگی داشته باشد، ولی بنا به گفته‌ی بسیاری از پژوهشگران، نمی‌توان پذیرفت که رسترهای با ابعاد سلولی کوچک‌تر، همیشه نتایج رضایت‌بخش‌تری دارند. حتی اگر بپذیریم که DEM‌های با اندازه‌ی پیکسل کوچک‌تر از دقت بالایی برخوردارند، اما متأسفانه دسترسی به آن‌ها به سادگی امکان‌پذیر نیست.

از بین مدل‌های رقومی ارتفاعی تست شده در این پژوهش ۱۵۰ متر با داشتن بیشترین دقت در مدل‌های ارزیابی خطأ به عنوان مدل رقومی ارتفاعی برتر انتخاب شد. جهت ارزیابی دقت مدل‌ها از پارامترهای MSE، NMSE و MAE استفاده و در نهایت مدل رقومی ارتفاع ۱۵۰ متر با مقادیر به ترتیب ۰/۳۵۰، ۲۴/۷۵ و ۱۸/۹۷ بهترین مدل رقومی ارتفاع جهت مدل‌سازی عمق برف انتخاب گردید.



منابع

- ظريف‌كار، مهدى (۱۳۹۴)، «تأثیر پیکسل سایز مدل رقومی ارتفاعی در محاسبه پارامترهای هیدرولوژیکی حوزه آبخیز (مطالعه موردى: حوزه آبخیز سد نهرین)»، پایان‌نامه کارشناسی ارشد. دانشگاه اردکان يزد.
- عاشورلو، داود؛ متکان، علی‌اکبر؛ کاظمی، آزاده؛ حسینی، امین؛ آزادیخت، محسن؛ حاجب، محمد و علی غلامپور (۱۳۸۷)، «تعیین اندازه پیکسل جهت محاسبه خصوصیات فیزیوگرافی حوضه‌ی آبریز برای نقشه‌های توپوگرافی ۱:۲۵۰۰۰»، فصلنامه زمین‌شناسی ایران. سال دوم، شماره هشتم، ص ۴۷-۵۴.
- Balk, B. and Elder, K., (2000), “Combining Binary Decision Tree and Geostatistical Methods to Estimate Snow Distribution in a Mountain Watershed”, Water Resources Research, Vol. 36, No. 1, PP: 13-26.
 - Cline, D.W. Bales, R.C. and Dozier, J., (1998), “Estimating the Spatial Distribution of snow in Mountain Basins Using Remote Sensing and Energy Balance Modeling”, Water Resources Research, Vol. 34, No. 5, PP: 1275-1285.
 - Elder, K.R. Rosenthal and R.E. Davis., (1998), “Estimating the spatial distribution of snow Water Equivalence in a Mountain Watershed”, Hydrological Processes, Vol. 12, PP: 1793-1808.
 - Elder, K., Dozier, G. and Michaelsen, J., (1991), “Snow Accumulation and Distribution in an Alpine Watershed”, Water Resources Research, Vol. 27, No. 7, PP: 1541-1552.
 - Elder, K.J. Michaelsen and J. Dozzier., (1995), “Small Basin Modeling of Snow Water Equivalence Using Binary Regression Tree Methods”, IAHS Publ, No. 228.
 - Erickson, T.A.M.W. Williams and A. Winstral., (2005), “Persistence of topographic controls on the Spatial distribution of Snow in Rugged Mountain, Colorado”, United states, Water Resourcec Research, Vol. 41, PP: 1-17.
 - Erxleben, J.K. Elder and R. Davis., (2002), “Comparison of Spatial Interpolation Methods for Estimating Snow Stribution in Colorado Rocky Mountains”, Hydrological Processes, Vol. 16, PP: 3627-3649.
 - Hancock, G. R., (2006), “The Use of DEMs in the Identification and Characterization of Catchment Over Different Grid Scales”, Hydrological Processes, Vol. 19, PP: 1727–1749.
 - Hastings, D.A. and P.K. Dunbar., (1998), “Development and Assessment of the Global Land One-km Base Elevation Digital Elevation Model (GLOBE)”, ISPRS Archives, Vol. 32, No. 4, PP: 218–221.
 - Hornik, K., Stinchcombe, M., and White, H., (1989), “Multilayer Feedforward Networks Are Universal Approximators”, Neural Networks, Vol. 2, No. 5, PP: 359-366.
 - Hosang, J. and K. Dettwiler., (1991), “Evalution of A Water Equivalent of Snow Cover Map in a Small Catchment Area Using a Geostatisticl Approach”, Hydrological Processes, Vol. 5, PP: 283-290.

- Jiang Li, David W.S. Wong., (2010), “**Effects of DEM Sources on Hydrologic Applications. Computers**”, Environment and urban systems, Vol. 34, PP: 251-261.
- Kienzle, S., (2004), “**The Effect of DEM Raster Resolution on First Order, Second Order and Compound Terrain Derivatives**”, Transactions in GIS, Vol. 8, No. 1, PP: 83-111.
- Lassueur, T. Joost, S. Randin, C.F., (2006), “**Very High Resolution Digital Elevation Models. Do they Improve Models of Plant Species Distribution?**”, Ecological Modeling, Vol.198, No.1-2, PP: 139-153.
- Ludwig, R., S. Taschner and W. Mauser., (2006), “**Modeling Floods in the Ammer Catchment: Limitations and Challenges from a Coupled Meteo-hydrological Model Approach**”, Hydrology and Earth System Sciences, Vol. 7, No. 6, PP: 833–847.
- Marchand, W.D. and A. Killingtveit. (2001), “**Analyses of the Relation between Spatial Snow Distribution and Terrain Characteristics**”, 58th Estern Snow Conference Ottawa, Ontario, Canada”.
- McBratney, A., Mendoc-a Santos, M., Minasny, B., (2003), “**On Digital Soil Mapping**”, Geoderma, Vol. 117, No. 1-2, PP: 3-52.
- Michele, Di. (2008), “**Correlation between Channel and Hillslop Lengths and Its Effects on the Hydrologic Response**”, Journa of Hydrology, Vol 362, PP: 260-273.
- Minasny, B. and McBratney, A.B., (2002), “**The Neuro-m Method for Fitting Neural Network Parametric Pedotransfer Functions**”, Journal of Soil Society of America, Vol. 66, PP: 325-361.
- Molotch, N.P., Colee, M.T., Bales, R.C. and Dozier, J., (2005), “**Estimating the Spatial Distribution of Snow Water Equivalent in an Alpine Basin Using Binary Regression Tree Models: The Impact of Digital Elevation data Independent Variable Selection**”, Hydrol. Process, Vol. 19, No.7, PP: 1459-1479.
- Rabus, B.M. Eineder, A. Roth and R. Bammer., (2003), “**The Shuttle Radar Topography Mission: A New Class of Digital Elevation Models Acquires by Space Borne Radar**”, ISPRS Journal of Photogrammetry and Remote Sensing, Vol. 57, PP: 241-262.
- Rasmus, S., (2007), “**Effects of DEM Resolution on the Calculation of Topographical Indices: TWI and Its Components**”, Journal of Hydrology, Vol 347, PP: 79 -89.
- Sharma, A. Tiwari, K N and Bhadoria, P.B.S., (2011), “**Determining the Optimum CellS of Digital Elevation Model for Hydrologic Application**”, No. 4, PP: 573-582.
- Tomislav, M. Hengel A., (2005), “**Finding Right Pixel Size Computer and Geo Science**”, Vol 32, PP: 1283-1297.
- Zhang, G., Patuwo, B.E., and Hu, M.Y., (1998), “**Forecasting with Artificial Neural Networks: The State of the Art**”, Int. J. Forecasting, Vol. 14 , No.1, PP: 35-62.